

# تحضير وتشخيص معقدات ايونات $\text{Cr}^{3+}$ , $\text{Fe}^{3+}$ , $\text{Pb}^{2+}$ , $\text{Ag}^+$ مع ليكائد انتبيرين - ازو الجديد

ثناء جعفر الحسني ، زهراء عاصم الوئري ، رشا احمد هاشم  
 قسم الكيمياء ، كلية العلوم ، جامعة بغداد  
 قسم الكيمياء ، كلية التربية (ابن الهيثم) ، جامعة بغداد  
 قسم الفسيولوجي ، كلية الطب ، جامعة بغداد

## الخلاصة

حضر الـليكائد من تفاعل ازدواج 4- اميتو انتبيرين مع الـهستدين ، شخص الـليكائد المحضر بوساطة اطیاف الاشعة تحت الحمراء، فوق البنفسجية - المرئية والرنين النووي المغناطيسي . ثبتت معاولة الـليكائد مع ايونات بعض العناصر الفلزية ( $\text{Cr}^{3+}$ ,  $\text{Fe}^{3+}$ ,  $\text{Pb}^{2+}$ ,  $\text{Ag}^+$ ) في مذيب الـایثانول ونسبة (1:1) و (2:1) فلز : ليكائد ، شخصت هذه المعقدات باستخدام اطیاف الاشعة تحت الحمراء و الاشعة فوق البنفسجية - المرئية فضلا عن قیاسات التوصیلية الكهربائیة وفي ضوء ذلك افترحت الصیغ التركیبیة لهذه المعقدات.

## المقدمة

ان الخصائص التي تميز الكواشف العضوية الحاوية على مجاميع فعاله (ومن ضمنها مرکبات الازو العضوية ذي الحساسية والانتقائية العالية) هو تفاعلها مع العديد من عناصر الجدول الدوري لتعطی معقدات غالبا ما تكون كیلیتیة وملونة ، لهذا نجد ان هذه الكواشف انتشرت بشكل واسع ولاقت تطبيقات واستعمالات واسعة النطاق في الحقول الصناعیة والبایولوجیة والطبیة (1-4) . وفي مجال الكيمياء التحلیلیة استعملت هذه الكواشف في التحلیل الكمی والنوعی (6,5) . تعد مرکبات الازو العضوية واحدة من اهم الكواشف التي لاقت انتشارا واستعمالا واسعین في مختلف المجالات من خلال قابلیتها على تكوین معقدات کیلیتیة ملونة مع عناصر الجدول الدوري فضلا عن انهما تمتلك حساسیة و انتقائیة عاليتين (7-9)، اذ تحتوي هذه المرکبات على مجموعة الازو الجسریة (-N=N- ) .

ان مرکبات الازو غير متجانسة الحلقة لها قابلیة على تكوین معقدات ملونة مع العديد من الایونات الفلزیة في محلول (10-12) ، اذ يسلک الـليكائد سلوكا ثلثی السن ونکوین حلقات خماسیة مستقرة (13,14) .

لقد ادت ظاهرة تکوین معقدات مستقرة من هذه الكواشف مع الایونات الفلزیة الى زيادة الاهتمام بها والتوضیح في استعمالاتها (15)، ففي مجال الصناعة استعملت هذه الكواشف اصیاغا لانسجة البولي استر والبولي امید والبولي اکرلیک (16). وتشیر المصادر الى ان معقدات الازو المحتویة على مجموعه (OH) في موقع اورثیو ولاسيما معقدات ( $\text{Cr}^{3+}$ ,  $\text{Co}^{+3}$ ) والتجربة على انسجة البولي امید تكون مقاومة للضوء وثابتة تجاه الغسل (17)، لقد استعملت هذه الاصیاغ مرسمة كهربائیه او جهاز حساس للموصلات الضوئیة (18)، فضلا عن استعمالها في المستحضرات والمرکبات الدوائیة (19).

## الجزء العلمي

المواه المستعملة :

FeCl3 , CrCl3 .6H2O, AgNO3 & Pb(NO3)2 from (Fluka co.) ,  
4-aminoantipyrine, L-Histidine From (B.D.H) .

## الاجهزه المستخدمة:

سجلت اطيف الاشعة تحت الحمراء باستخدام جهاز

Shimadzu, FT.IR-8400S Fourier Transform Infrared Spectrophotometer.

سجلت اطيف الاشعة فوق البنفسجية - المرئية (UV- Vis) باستخدام جهاز

( Shimadzu UV-160 A), Ultra Violet – Visible Spectrophotometer

اجربت تحاليل HNMR في جامعة لندن باستخدام جهاز

Jeol Ex 270 MHz , Brucker – 400 MHz .

قيست التوصيلية المولارية باستخدام جهاز Philips Pw-Digital Conductometer

فضلا عن قياس درجات الانصهار باستخدام جهاز Stuart Melting Point Apparatus.

## تحضير الليكائد :

حضر الليكائد وفقا للطريقة العامة المقترنة من Shibata (20) ، اذ تم اذابة (0.5g , 1m mole ) من 4-aminoantipyrine في مزيج مكون من (2ml) من حامض الكبريتيك ، (2ml) من الايثانول، و (10ml) من الماء المقطر . برد محلول الى (5°C) ، واضيف اليه (10ml) من محلول نترات الصوديوم المائي (10%) تدريجيا مع التحريك المسرع ، يترك محلول مدة نصف ساعة لانتمام عملية الدبادره والحصول على ملح الديابازونبيوم ، اضيف محلول الملح تدريجيا مع التحريك المسرع الى (0.387g,1m mole ) من محلول الكحولي للهستدين وتمت معادلة محلول باستعمال هيدروكسيد الصوديوم للتوصيل الى (P^H = 6.5) بترسب عندها الليكائد العضوي . ترك الراسب لليوم التالي، ثم رشح واعيدت بلوائه بالإيثانول وترك ليجف .

## تحضير المعدات الفزية :

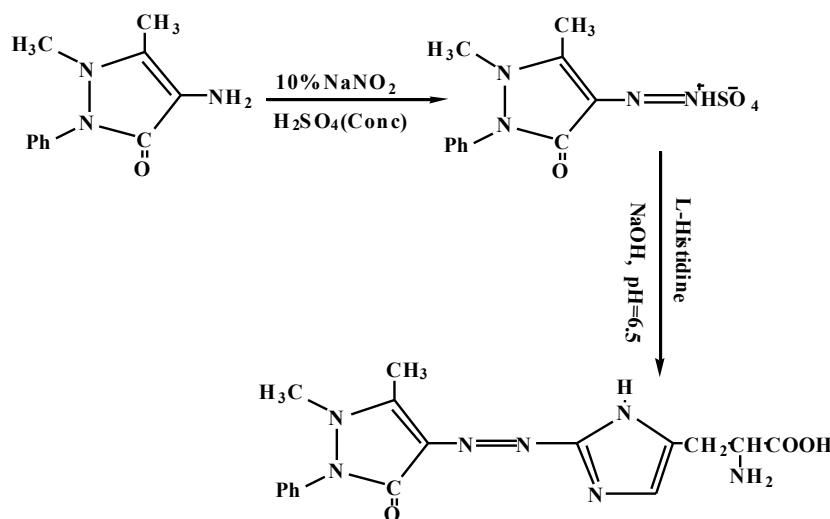
حضرت معدات الايونات الفلزية (في الدراسة) من خلال اضافة محلول المائي لملح الفلز الى محلول الكحولي للليكائد وبنسبة تفاعل (1:1) و (2:1) فلز : ليكائد ، حرك المزيج لحين الحصول على الراسب الملون ، ترك محلول لليوم التالي ، رشح وغسل مرات عديدة بمزيج مكون من (1:1) ماء : ايثانول ثم بالاسيتون وترك ليجف . يوضح الجدول (1) ظروف تحضير المعدات مع بعض خصائصها .

## النتائج والمناقشة

ان وجود مجموعة الازو لوحدها تعد من الليكائدات الضعيفة ولكنها عندما تكون جزءا من الحلقة الكيلوبتية فانها غالبا ما تكون معدات على درجة عالية من الاستقرارية (21)، اذ تحل فيها مجموعة الازو احد مواقع التناقض، اما موقع التناقض الاخر المكونة للحلقة الكيلوبتية فقد تكون جزءا من مجموعة معادلة مثل :

(-NH<sub>2</sub> , -OCH<sub>3</sub>) وقد تكون ذا شحنة سالبة مثل (- OH, - SH, -COOH) لذلك فانه من المتوقع ان تكون هناك تراكيب مختلفة ومتحدة للمعدات المنكوبة وتعتمد هذه التراكيب على طبيعة كل من الايون الفلزى والليكائد.

في هذا العمل حضر الليكائد من خلال ازوجته (Azoa) (الانتيبيرين وازدواج Coupling) مع محلول الكحولي للمهستدين للحصول على الناتج ، والمخطط الآتي يوضح سير عملية الدبورة والأزدواج .



لقد شخص الليكائد بوساطة طيف HNMR (16, 22-24) حيث اظهر الليكائد، شكل (1) حزمة امتصاص عند ( $\delta = 8.87$  ppm) تعود الى مجموعة (NH) لحلقة الاميدازول ، ظهور حزم متعددة تعود الى بروتونات حلقة البنزين عند ( $\delta = 7.40-7.57$  ppm)، اما الفمة عند ( $\delta = 6.78$  ppm) فانها تعود الى (C-H) لحلقة الاميدازول والقمة عند المدى ( $\delta = 3.38, 3.45$  ppm) ( $\delta = 3.62, 3.67, 3.72$  ppm) و( $\delta = 2.68$  ppm) ( $\delta = 2.5$  ppm) التي تعود الى مجموعة CH<sub>2</sub> على التوالى ،في حين تعود الحزمة عند ( $\delta = 2.64$  ppm) ( $\delta = 2.12$  ppm) الى مجموعة (N-CH<sub>3</sub>) لليابروزول ، كما اظهر الليكائد فمه امتصاص عند ( $\delta = 2.05$  ppm) تعود الى (NH<sub>2</sub>) لليابروزول ، الحزمة عند ( $\delta = 1.32$  ppm) فضلا عن ظهور حزمة عند ( $\delta = 0.95$  ppm) التي تعود الى DMSO-d<sub>6</sub>.

تثبت مفاعلة الليكائد مع بعض العناصر الفلزية للحصول على المعقدات الفلزية وقياس التوصيلية الكهربائية للمعقدات في مذيب الأباتنول وشريكيز (M<sup>3+</sup>) الذي بيّنت انها معقدات ايونية وبنسبة (1:1) ماعدا معقد الفضة والقادميوم اللذين اظهرا الصفة غير الاريونية (25) .

سجلت اطیاف I.R للليكائد، شكل (2) اذ اظهر حزمة امتصاص عند (cm<sup>-1</sup>) 3433 (3433) التي تعود الى التردد الاهتزازي لمجموعة (OH) (16) ، اما الحزم عند (cm<sup>-1</sup>) 3240 (3240) و (cm<sup>-1</sup>) 3056 (3056) فانها تعود الى التردد الامتطاطي لمجموعة (NH) (27,26) العائد للامين الاولى و (NH) لحلقة الاميدازول ، وعند مقارنة هذه الحزم مع المعقدات المحضرة لوحظ عدم حصول أي تغير في مواقعها مما يدل على عدم اشتراك هذه المجاميع في عملية التنسق ، كما اظهر الليكائد حزمة امتصاص قوية عند (cm<sup>-1</sup>) 1635 (1635) التي تعود الى (C=O) و (C=N) في حلقة الاميدازول (28)، وعند مقارنتها مع اطیاف المعقدات، شكل (3) و(4) لوحظ حصول تغير في موقع وشكل هذه الحزمة مما يدل على اشتراك المجموعة (C=N) لحلقة الاميدازول في عملية التنسق ، اما الحزم القوية عند (cm<sup>-1</sup>) 1580 (1580) و (cm<sup>-1</sup>) 1521 (1521) فانها تعود الى ترددات الانحناء لامين الاولى (NH) و (NH) لحلقة الاميدازول (24) .

لقد اظهرت مجموعة الازو الجسرية (-N=N-) حزمة امتصاص عند  $cm^{-1}$  (1417) وعند مقارنتها مع المعدات المحضرة لوحظ حصول تغير في شكل وموقع هذه الحزمة مما يدل على افهام هذه المجموعة في عملية التناقض مع الايونات الفلزية (29).

لقد اظهر طيف I.R لمعدن  $Pb^{+2}$  حزما عند  $cm^{-1}$  (829, 1022, 1330) اما معدن  $Ag^+$  فقد اظهرت حزما عند  $cm^{-1}$  (833, 1047, 1365) تعود الى مجموعة  $(NO_3^-)$  ، كما اظهرت اطيف المعدات موافع حزم امتصاص جديدة عند المدى  $cm^{-1}$  (500-400) التي تعود الى اهتزازات الاصارة (M-N) وبعزى سبب ظهورها الى تناقض الفلز مع نيتروجين مجموعة الازو و نيتروجين حلقة الاميدارول (30,31).

و يبين الجدول (2) قيم امتصاص الليكائد ومعداته الفلزية .

### الاطياف الالكترونية :

اظهرت اطيفات (UV-Vis) للبيكائد المحضر في الايثانول ، شكل (5) ، حزمتين مختلفتين الشدة الاولى عند (235) نانومتر والتي تمثل الاتارات الموضعية ( $\pi^* - \pi$ ) التي تحدث عادة في المركبات العضوية الحاوية على او انصار مزدوجة ، اما الحزمة الثانية والتي تمثل ( $\lambda_{max}$ ) فقد ظهرت عند (484) نانومتر التي تمثل الانتقالات الالكترونية ( $\pi^* - \pi$ ) العائدة للحلقات المفترضة والخاصة بانتقالات الشحنة (Charge Transfer) من حلقة البايروروزول (حلال مجموعة الازو الجسرية (-N=N-)) الى حلقة الاميدارول .

**الاطياف الالكترونية للمعدات (32):**

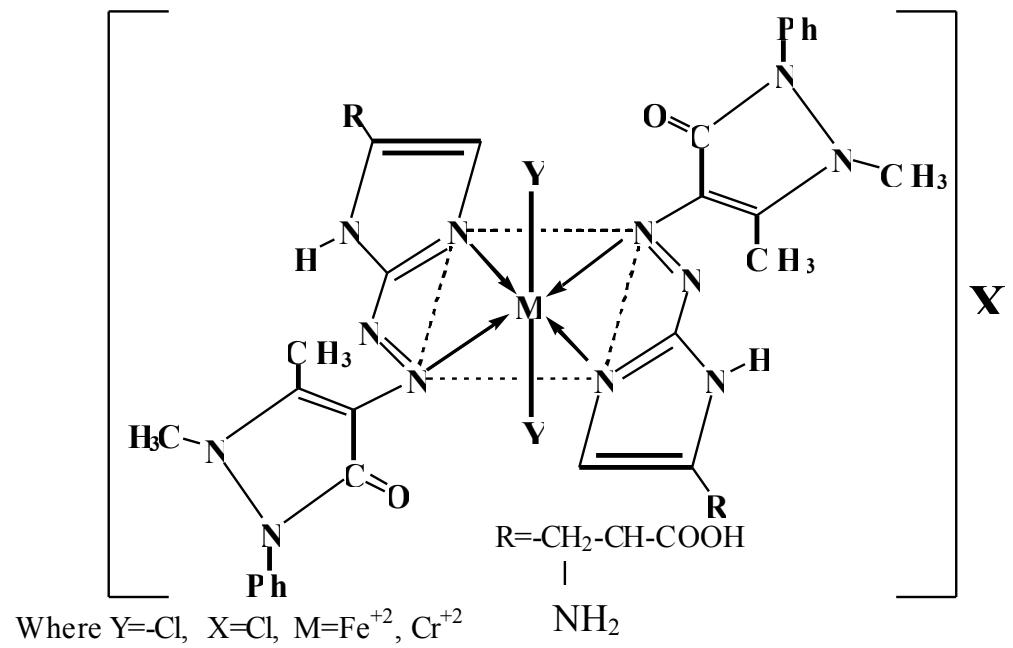
- [Cr(L)<sub>2</sub>Cl<sub>2</sub>] : اظهر المعدن ، شكل (6) قيمه امتصاص عند  $cm^{-1}$  (39840.63) تعود الى طيف نقل الشحنة (Charge Transfer) وتحتوى على امتصاص عند  $cm^{-1}$  (36363.63) و  $cm^{-1}$  (20202.02) فانها تعودان الى الانتقالات الالكترونية  $^4A_{2g} \rightarrow ^4T_{2g(f)} \rightarrow ^4T_{1g(f)}$  و  $^4A_{2g} \rightarrow ^4T_{1g(p)}$  على التوالي .

- [Fe(L)<sub>2</sub>Cl<sub>2</sub>]Cl : لقد اظهر طيف المعدن ، شكل (7) قيمه امتصاص عند  $cm^{-1}$  (39840.63) تعود الى طيف نقل الشحنة ، كما اظهرت ثلاثة موافع امتصاص عند  $cm^{-1}$  (33444.81) و  $cm^{-1}$  (26315.78) و  $cm^{-1}$  (19723.86) التي تعزى الى الانتقالات الالكترونية .

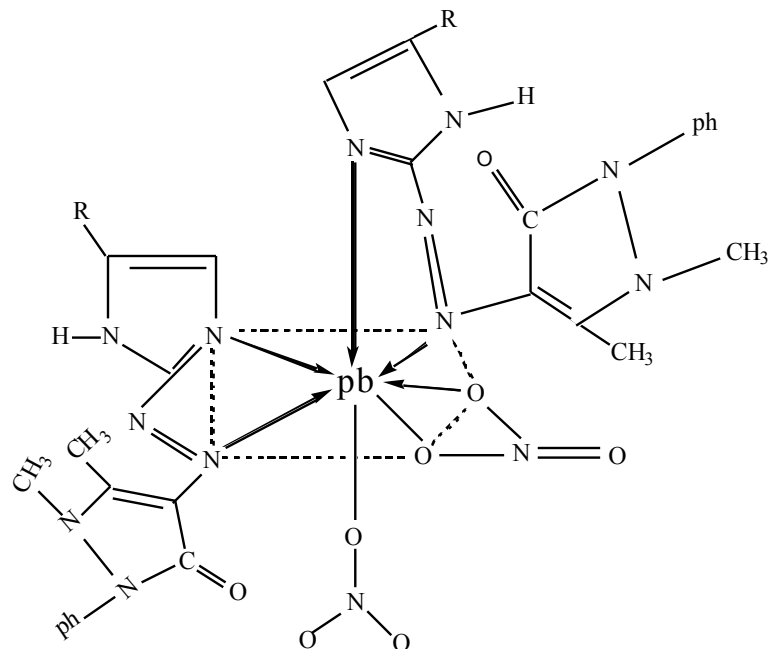
- [Ag(L)NO<sub>3</sub>] ، [Pb(L<sub>2</sub>)(NO<sub>3</sub>)<sub>2</sub>] : اذا لا توجد انتقالات d-d في هذه المعدات بسبب امتلاء اوربيتال (d) ، لذلك فان قيمه الامتصاص التي ظهرت في اطيف المعدات عند  $cm^{-1}$  (39840.63) تعود الى طيف نقل الشحنة ، و يبين الجدول (3) نتائج الاشعة فوق البنفسجية - المرئية للبيكائد ومعداته الفلزية في مذيب الايثانول بتركيز ( $10^{-3} M$ ) .

وببناء على النتائج التي تم الحصول عليها فقد افترحت الصيغ التركيبة للمعدات المحضرة كما ياتي :

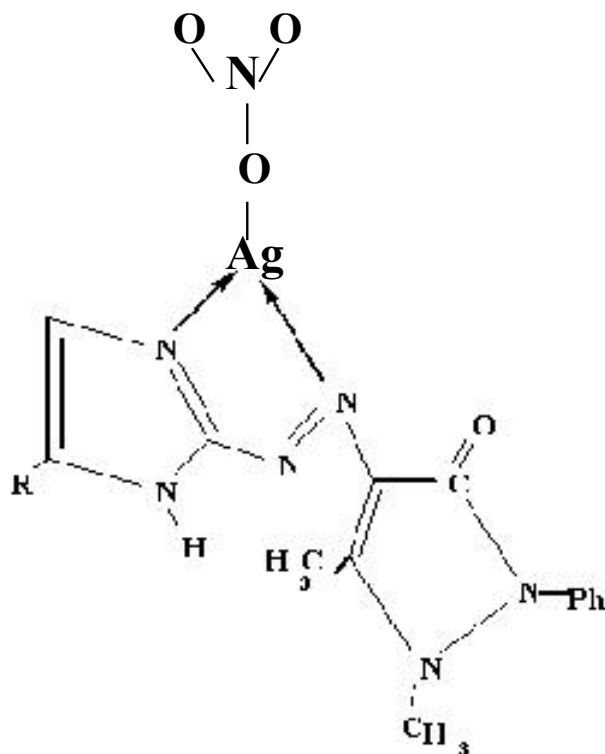
- ثماني السطوح Octahedral لمعدن  $Cr^{+3}$  ،  $Fe^{+3}$



- ثيائى الهرم المخمس (pentagonal bipyramide) لمعدن  $\text{Pb}^{+2}$ .



- مثلاً مسنوبي (Planar)  $\text{Ag}^+$  المعقد



### المصادر

1. McMullan, G. ; Meehon, C. ; Conneely, A. ; Kirby, N. ; Robinson, T. ; Nigam, P. ; Banat, I.M ; Marchant, R. and Smyth, W.F. (2001) Apple. Microbiol. Biotechnol, 56 : 81-87
2. Arfman, H. and Abraham, W.R (1993) Bio.Sci; 48 : 52.
3. Wong, S. ; Shen, S. and Hu, H. (2000) Dyes and Pigments; 44: 195-198.
4. EL-Sayed, F.A ; Ayad, M.I. ; Tossia, R.M. and Ali, S.A (2001) Polish.J.chem; 75 : 773.
5. Nagaraja, P.; Kumar, M. and Rangappa, K.S. (2001) Anal.Sci; 17 : 439-442.
6. Maria, B. and Katarzyna, P. (2003) Anal. Chem; 48 : 87-95.
7. Valencia, M.; Budra, S. and Bosque, J. (1996) Anal. Chem.Acta; 73 : 327.
8. Mangsup, L; Salnpipate, S.S. and Chaichit, N.(2003) Anal. Sci.19 : 1345.
9. Dollimore , D. (1990) Anal . Chem; 12 : 17.
10. Svvinn, S. B.; Dedkova, V.P. and Shoeva, O.P.(2000) Russ-chem. Rev; 69 : 187-200.
11. Morzoka, S.A. and Ivanov, V.M. (1995) Zh.Anal. Khim; 50 : 629-635.
12. Morzoka, S.A. and Ivanov, V.M. (1996) Zh.Anal. Khim; 51 : 631-635.
13. Savic, J. and Vasic, V.(2006) Acta.Chem.slov; 53 : 36-42.
14. Maradiya, H.R. (2001) Turk.J.chem; 25 : 441-450.
15. Prabhaharan, O. and Nair, H.(1996) Indian.J.chem; 35A : 771.
16. Yildiz, E. and Boztepe, H. (2002) Turk.J-chem; 26 : 807-903.
17. Bliss, K.(1995) Dyes and pigments; 41 : 149-157.
18. Hsich, B.R. (1990) Dyes and pigments; 14 : 287.
19. Kupradinun, P.; Rienkijakrn, M. and Tanyakaset, M. (2002) Asian pacific Journal of cancer prevention; 3 : 2002.
20. Shibata, S.; Furukawa, M. and Nakashima, R.(1979) Anal. Chim. Acta. 81 : 131.
21. Santana, O.; Jesuino, L. and cassella, R. (2004) J.Braz.Chem.Soc. 15 : 61.
22. ST, Y.; Hu, Q.; Huany, Z.; Yang, G. and Yin, J. (2005) Turk.J.chem.29 : 135-140.

- 23.Patel, S.and Sinha, C. (2001) Proc. Ind. Acad.Sci (Chem.Sci)June. 113 : 163-172.
- 24.Silverstein,R.M. and Webster, F.X. (1996) "Spectrometric Identification of Organic compounds" , 6<sup>th</sup> Edl, New York, John Wiley and Sons, Inc.
- 25.Geary, W.J. (1971) "Coordination Chemistry Review"; 7 : 110.
- 26.Kurashashi, M.(1974) Bull.Chem.Soc.Jpn. 47 : 2005.
- 27.Yamauchi, O.and Tanaka, H.(1970) 20 : 203.
- 28.Silverstein, R.M. Bassler, C.G.and Morrill, T.C. (1974) "Spectrometric Identification of organic compounds" 3<sup>rd</sup>Ed, John Wiley, Inc, New York.
- 29.Patel, L.K; Chikhalia, K.H.and Nesai, P.S. (1999) Oriental.J. Chem. 15 : 363.
- 30.Gupta, C.P.; Konugo, D.K .and Mehta, P.K. (1979) J.Ind. Chem,Soc. 56 : 826.
- 31.Rona, A.K and Shah, J.R. (1981) J.Ind.Chem.Soc. 56 : 826.
- 32.Lever, A.B.P. (1968) "Inorganic Electronic Spectroscopy" New York.

**Table (1) Conditions of the preparation of complexes and some of their properties**

Compounds	Color	Wt.of ligand (g)	Wt.of metal salt(g)	M.Pc°	Yield %	$\Lambda_h(s.cm^2.cm^{-1})$ in EtOH( $10^{-3}M$ )
Ligand	Red			165	91	8.43
[Cr(L) <sub>2</sub> ]Cl	Brown	0.369	0.133	>250	90	38.55
[Fe(Cr) <sub>2</sub> ]Cl	Redish brown	0.369	0.081	>250	87	41.37
[Ag(L)NO <sub>3</sub> ]	Yellowish orange	0.369	0.170	>250	86	5.15
[Pb(L) <sub>2</sub> (NO <sub>3</sub> ) <sub>2</sub> ]	Yellowish orange	0.369	0.165	>250	89	11.45

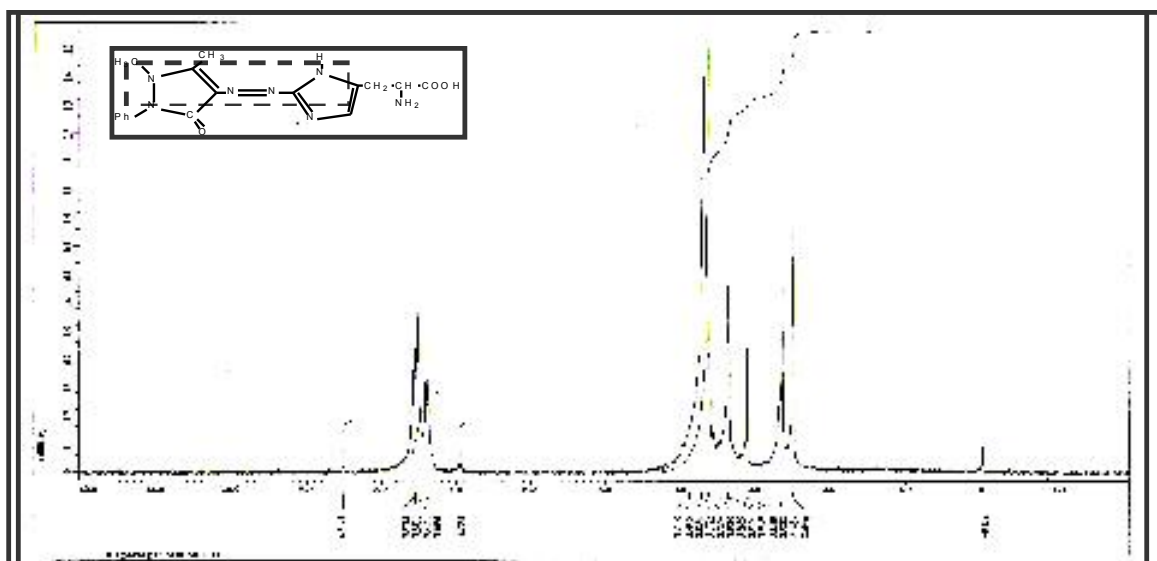
**Table (2): The Infrared Spectra For The Ligand and Metal Complexes(cm).**

Compound s	v (O-H)	v(NH)prim v( <sup>+</sup> NH)imid	v (C=O) v ( <sup>+</sup> C= N)	$\delta$ (NH)prim $\delta$ (N <sup>+</sup> H)imid	v (N=N)	v (M-N <sub>azo</sub> ) v (M- <sup>+</sup> N <sub>imid</sub> )
Ligand	3433 S.	3240 br. 3056 br.	1635 v.s.	1580 sh 1521 s..	1417 s.	
[Cr(L) <sub>2</sub> ]Cl	3440 br.	3080 br . .	1647 br.	1582 sh. 1518 w.	1491 sh. 1385 sh	460 w. 418 w.
[Fe(Cr) <sub>2</sub> ]C l	3438 w.	324 br 3060 br	1638 v.s.	1591 sh. 1516 w.	1491 sh. 1419 s. 1369 s.	470 w. 443 w.
[Ag(L)NO <sub>3</sub> ]	3443 br.	3057 br.	1635 s.	1591 sh. 1521 s.	14895 s. 1410 sh.	468 w. 420 w.
[Pb(L) <sub>2</sub> (NO <sub>3</sub> ) <sub>2</sub> ]	3421 br.	3057 br.	1645 s.	1583 sh. 1520 w.	1491 s. 1374 s.	470 w. 438 w.

s=strong, br=broad, w= weak, v= very, sh=shoulder, d=doublet, t=Triblet

Table(3): The electronic spectra for the ligand and its complexes in ethanol ( $10^{-3}$ )

Compounds	$\lambda_{mn}$	ABS	Wave number cm <sup>-1</sup>	$E_{max}$ L.mol <sup>-1</sup> .cm <sup>-1</sup>
Ligand	235	0.192	42553.19	192
	484	1.073	20661.15	1073
[Cr(L) <sub>2</sub> ]Cl	251	0.459	39840.63	459
	275	0.435	36363.63	435
	495	0.933.	20202.02	933
[Fe(Cr) <sub>2</sub> ]Cl	251	0.523	39840.63	523
	299	0.548	33444.81	548
	380	0.835	26315.78	835
	507	1.686	19723.86	1686
[Ag(L)NO <sub>3</sub> ]	251	0.821	39840.63	821
	299	1.069	33444.81	1069
	331	0.989	30211.48	989
	344	1.061	29069.76	1061
	440	1.655	227727.27	1655
	520.	1.605	19157.06	1605
[Pb(L) <sub>2</sub> (NO <sub>3</sub> ) <sub>2</sub> ]	251	0.592	39840.63	592
	299	0.689	33444.81	689
	345	1.213	28985.50	1213
	487	2.369	20533.88	2369



**Fig.(1): HNMR- of the ligand**

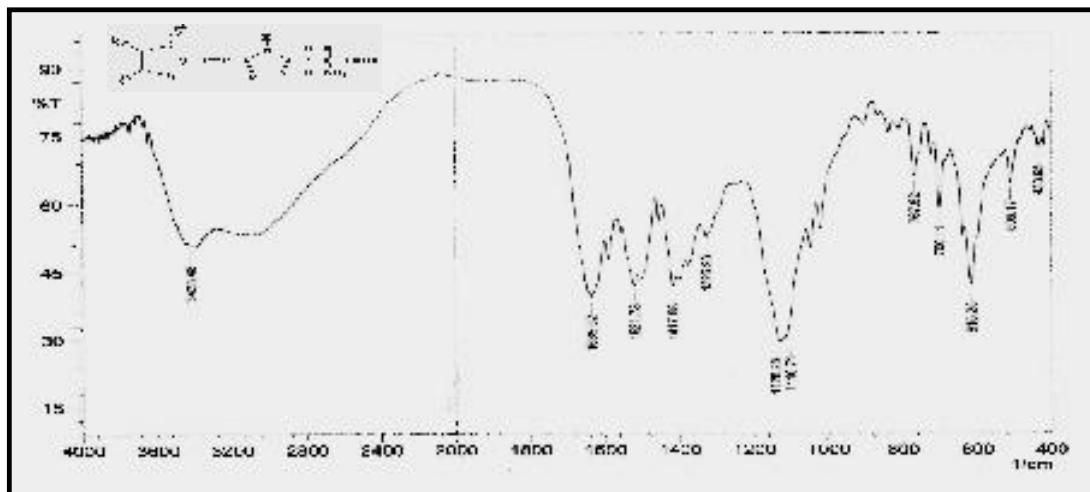
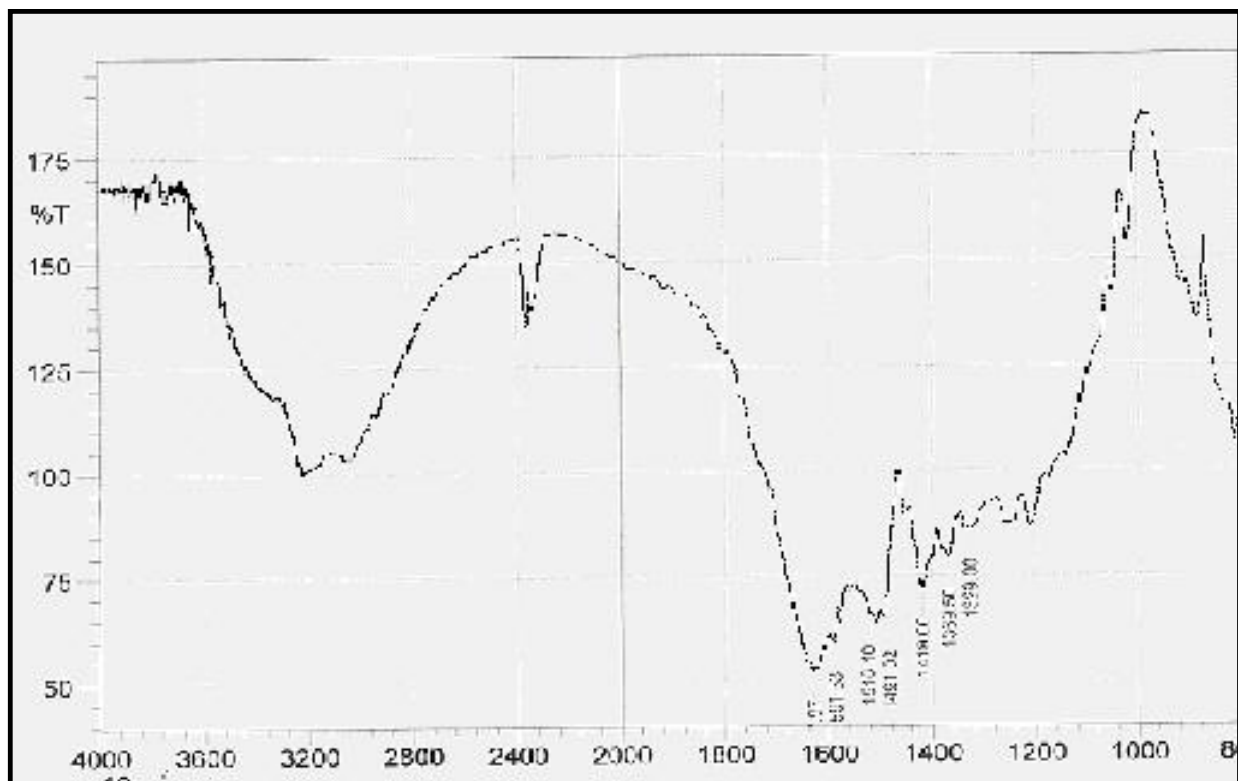


Fig.(2) : FT.IR of the ligand

Fig.(3) :FT.IR of the  $\text{Fe}^{+3}$  Complex

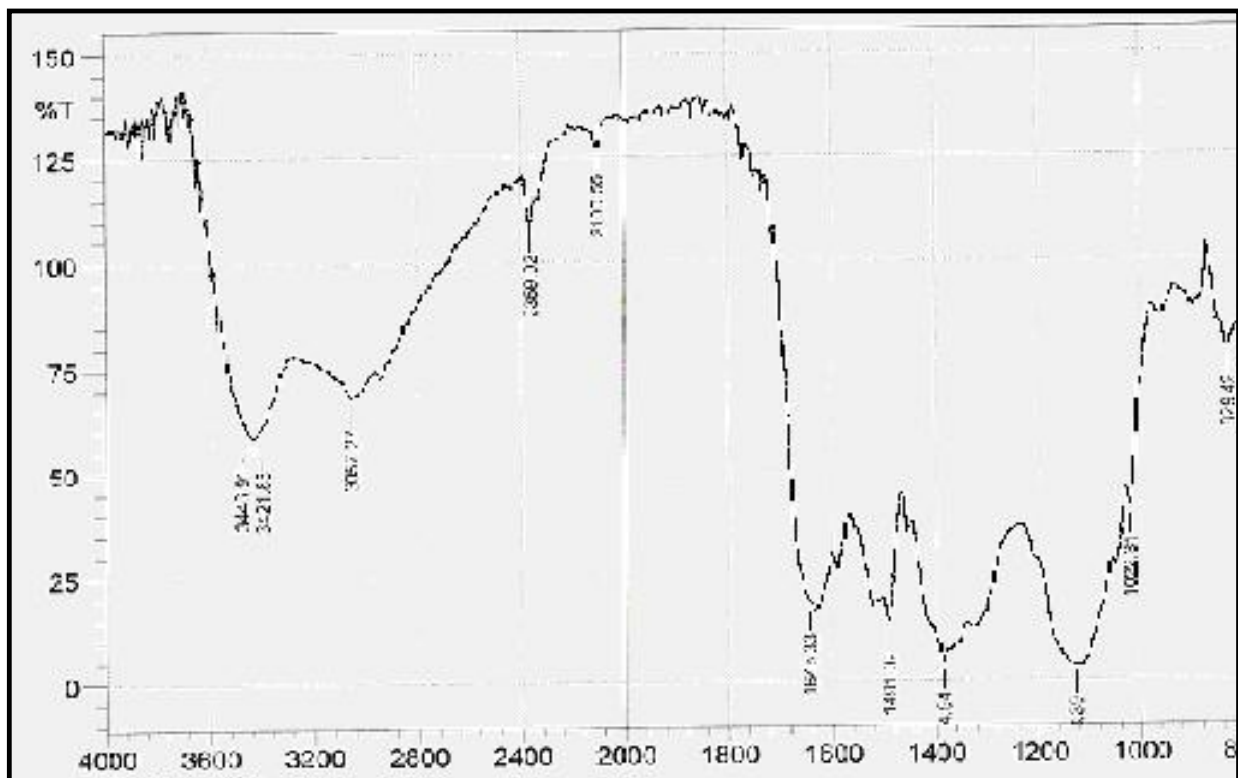


Fig.(4): FT.IR of the  $\text{Pb}^{+2}$  Complex

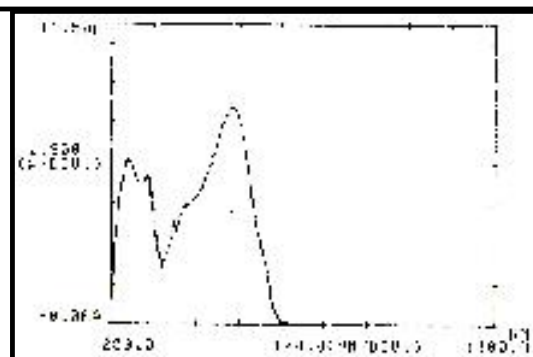


Fig. (5):UV-Vis of the ligand

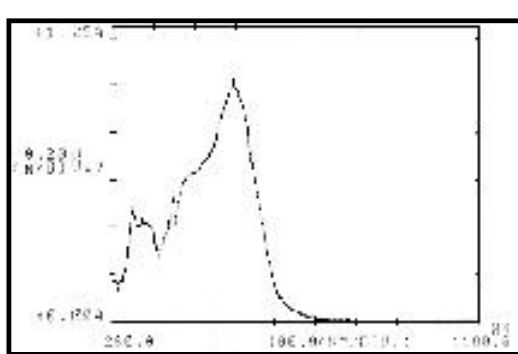


Fig. (7):UV-Vis of the  $\text{Fe}^{+3}$ Complex

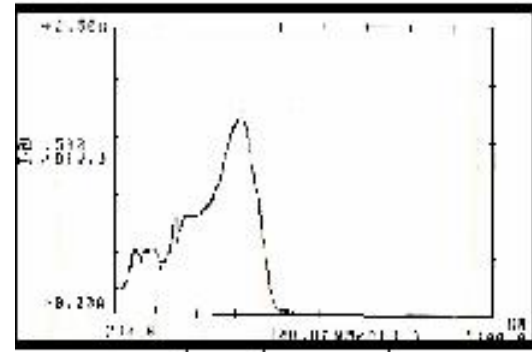


Fig. (6):UV-Vis of the  $\text{Cr}^{+3}$ Complex

# Synthesis and Characterization of $\text{Ag}^+$ , $\text{Pb}^{+2}$ , $\text{Fe}^{+3}$ , $\text{Cr}^{+3}$ Complexes with the New Antipyrene – Azo Ligand.

T.J.Al-Hasani, Z.A.Al-witry, R.A.Hashim

Department of Chemistry, College of Science.

Department of Chemistry, College of Education, Ibn-Al-Haitham,  
University of Baghdad

Department of Physiology, College of Medicine,

## Abstract

Coupling reaction of 4-aminoantipyrene with the (L-Histidine) gave the new bidentate azo ligand. The prepared ligand was identified by FT.IR, UV-Vis and HNMR spectroscopics technique. Treatment of the prepared ligand was done with the following metal ions ( $\text{Ag}^+$ , $\text{Pb}^{+2}$ , $\text{Fe}^{+3}$ , $\text{Cr}^{+3}$ ) in aqueous ethanol with a 1:1 and 1:2 M:L ratio. The prepared complexes were characterized by using FT. IR and UV- VIS spectroscopic method as well as conductivity measurements. Their structures were suggested according to the results obtained.